

# Modelos não lineares mistos

Prof. Caio Azevedo

# Relembrando

- MLM :  $\mu_{ij} = \mathbf{X}'_j \boldsymbol{\beta} + \mathbf{Z}_j \mathbf{b}_j.$
- MLGM :  $\mu_{ij} = g^{-1}(\mathbf{X}'_j \boldsymbol{\beta} + \mathbf{Z}_j \mathbf{b}_j).$
- Nem sempre a relação entre as covariáveis ( $\mathbf{X}_j$ ) e os efeitos aleatórios é adequadamente descrita por um modelo linear ou por um modelo linear generalizado.
- Modelos não lineares (mistos) (MNLM) podem ser mais apropriados em situações em que o comportamento das médias (em função de covariáveis como o tempo, por exemplo) não é satisfatoriamente modelado pelos MLM ou pelos MLGM.

# Limitações dos MLM e MLGM e vantagens dos MNLM

- O comportamento linear e não linear induzidos, respectivamente, pelo MLM e MLGM podem não ser adequados para representar o comportamento da média.
- Existência de assíntotas (inferior e/ou superior)
- As interpretações dos parâmetros de modelos não lineares podem ser mais adequadas do que aquelas associadas aos parâmetros do MLM e do MLGM (particularmente, polinômios de grau  $\geq 3$  possuem parâmetros de difícil interpretação), principalmente em termos do problema.

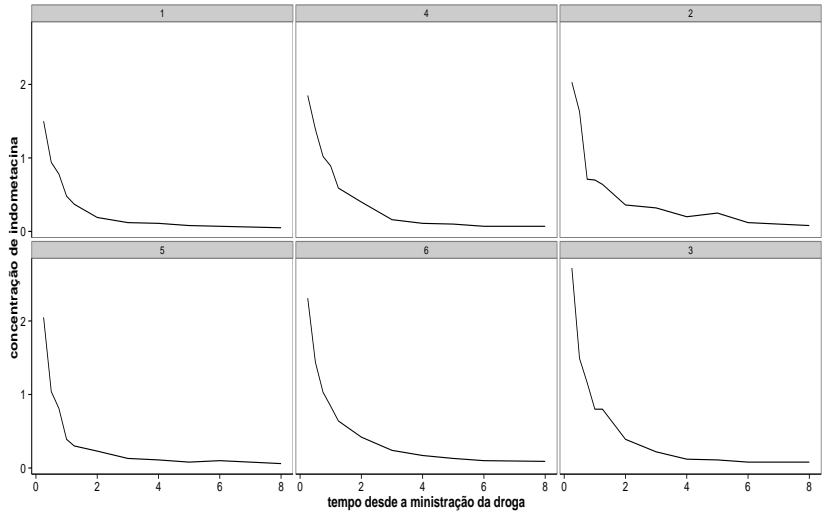
# Limitações dos MLM e MLGM e vantagens dos MNLM

- Os MNLM, em geral, apresentam poucos parâmetros com interpretações úteis em termos do problema.
- Garantia de que as médias preditas respeitarão o espaço paramétrico associado.

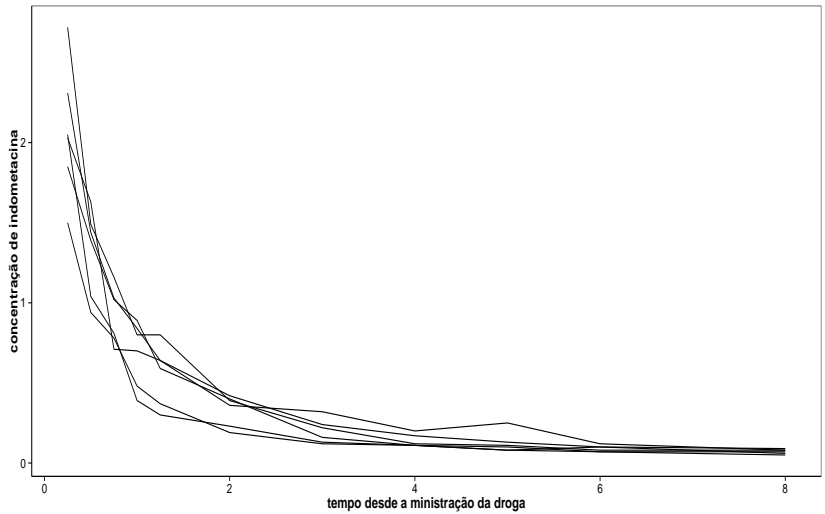
## Exemplo 6: cinética de indometacina, Kwan et al (1976)

- Os dados correspondem à um experimento de farmacocinética (etapas pelas quais a droga passa desde a ministração, introdução do fármaco no organismo, como tomar um comprimido, até sua eliminação, processo pela qual o fármaco deixa o organismo definitivamente) da droga indometacina (um tipo de anti-inflamatório).
- Seis indivíduos receberam de modo intravenoso a mesma dose de indometacina, e tiveram sua concentração de droga no plasma (em mcg/ml) medidas 11 vezes entre 15 minutos e 8 horas após o medicamento ser ministrado.
- Estudar o comportamento da concentração ao longo do tempo.

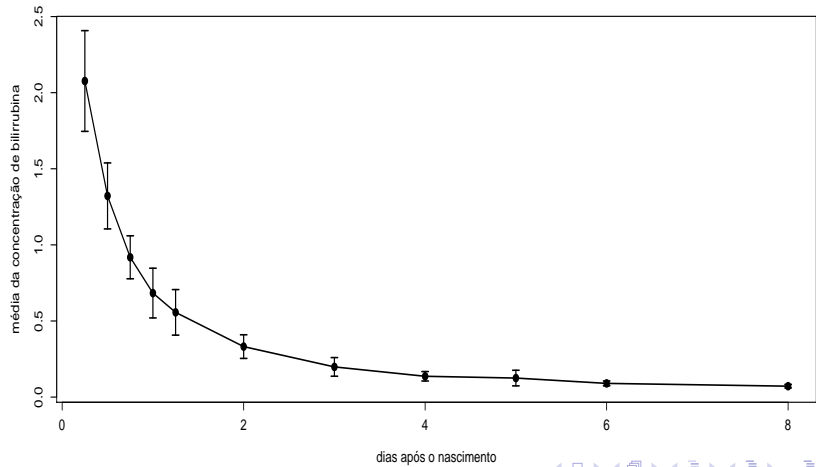
# Perfis individuais (separados)



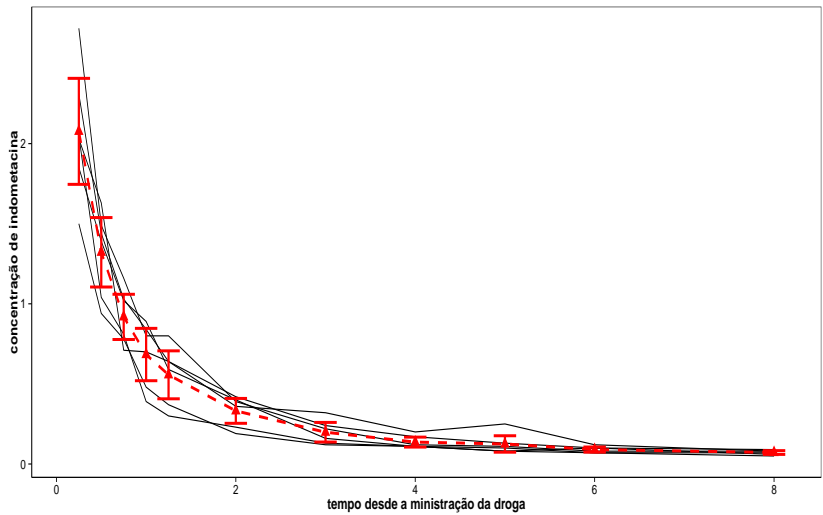
## Perfis individuais (juntos)



# Perfis médios



# Perfis médios e individuais



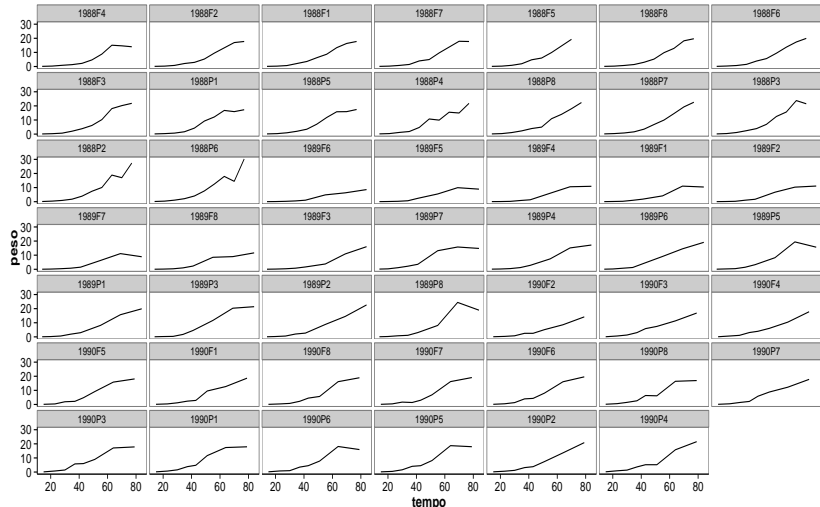
## Exemplo 7: crescimento de plantas de soja, Davidian and Giltinan (1995) (1976)

- Os dados correspondem à um experimento sobre crescimentos de dois tipos de soja: “Plant Introduction” # 416937 (P) um tipo experimental de cepa (parte da planta a que se cortou o caule e permanece viva no solo) e “Forrest” (F) (uma variedade comercial).
- O peso médio das folhas (em gramas) de seis plantas escolhidas aleatoriamente de cada parcela (área de cultivo) foi medida (aproximadamente) numa frequência semanal entre duas à sete semanas depois de plantadas.

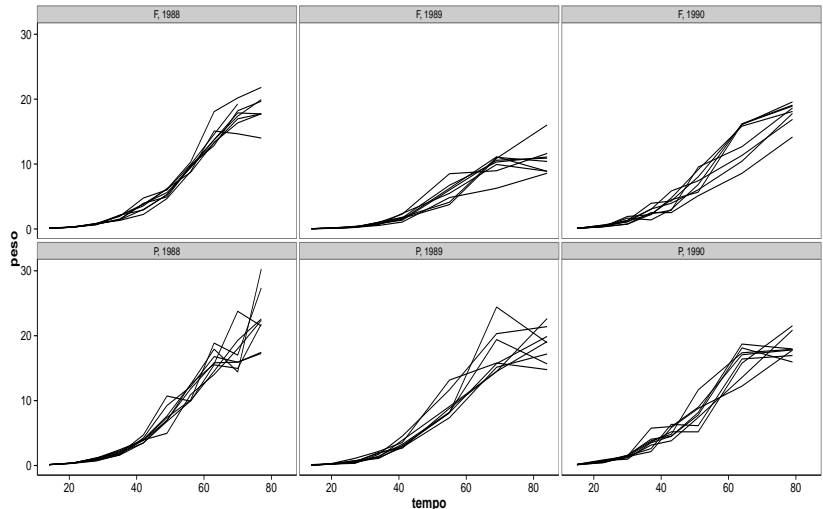
Cont.

- O experimento foi conduzido em três anos diferentes: (1988, 1989 e 1990).
- Objetivo: comparar os tipos de plantas, quanto crescimento, ao longo do tempo.

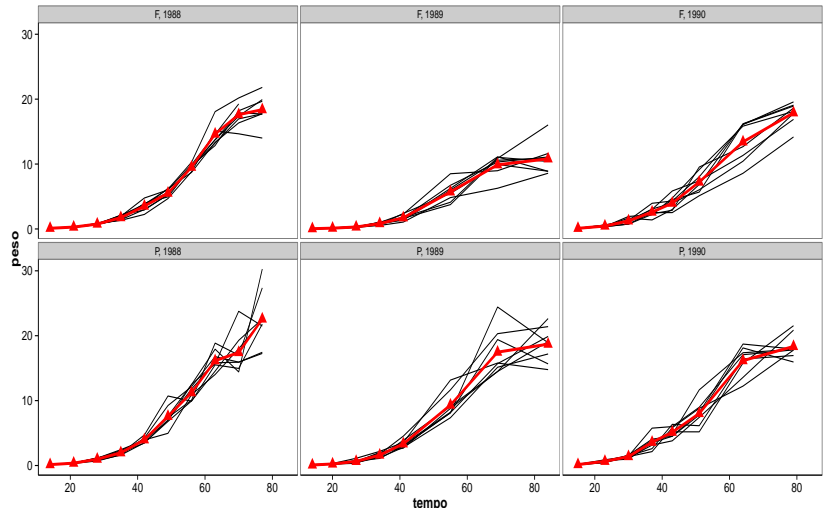
# Perfis individuais por variedade x anos (separados)



# Perfis individuais por variedade x anos (juntos)



# Perfis individuais e médios por variedade x anos



# Modelo não linear (sem efeito aleatório)

$$Y_j = f(\phi_j, \mathbf{X}_j, \mathbf{W}_j) + \xi_j; j = 1, \dots, n(\text{indivíduo})$$

- Em que  $\mathbf{X}_j$  representa covariáveis (matriz de planejamento) de interesse associadas aos efeitos fixos.
- $\phi_j = \mathbf{X}_j\beta$ .
- $\mathbf{W}_j$  : outras covariáveis como o tempo, por exemplo.
- $f(., ., .)$  é uma função geral, real e diferenciável e não linear em pelo menos uma componente do vetor  $\phi_j$ .
- $\xi_j \stackrel{i.i.d}{\sim} N(0, \sigma^2)$ .

## Modelo não lineares: exemplos

- $(M_1) : Y_j = \phi_1 + \phi_2 \exp(\phi_3/w_j) + \xi_j.$
- $(M_2) : Y_j = \phi_1 - \phi_2 (w_j + \phi_3)^{-1} + \xi_j.$
- $(M_3) : Y_j = \phi_1 w_j^{\phi_2} + \xi_j.$
- $(M_4) : Y_j = \phi_1 / (1 + \exp(-(w_j - \phi_2)/\phi_3)) + \xi_j.$
- $(M_5) : Y_j = \phi_1 + \phi_2 w_j - e^{\phi_3 + \phi_4 w_j} + \xi_j.$

Para os modelos  $M_1$ ,  $M_2$ ,  $M_4$ ,  $\phi_j = (\phi_1, \phi_2, \phi_3)' = (\beta_1, \beta_2, \beta_3)',$  ou seja  $\mathbf{X}_j = \mathbf{I}_3$ . Para o modelo  $M_3$   $\phi_j = (\phi_1, \phi_2)' = (\beta_1, \beta_2)',$  ou seja  $\mathbf{X}_j = \mathbf{I}_2$ , enquanto que para o modelo  $M_5$   $\phi_j = (\phi_1, \phi_2, \phi_3, \phi_4)' = (\beta_1, \beta_2, \beta_3, \beta_4)',$  ou seja  $\mathbf{X}_j = \mathbf{I}_4$ . Em todos os casos, a matriz  $\mathbf{W}_j$  corresponde à variável  $w_j$ , que pode ser o tempo.

Cont.

- Os modelos  $M_1$  e  $M_5$  podem ser apresentados de uma outra forma:

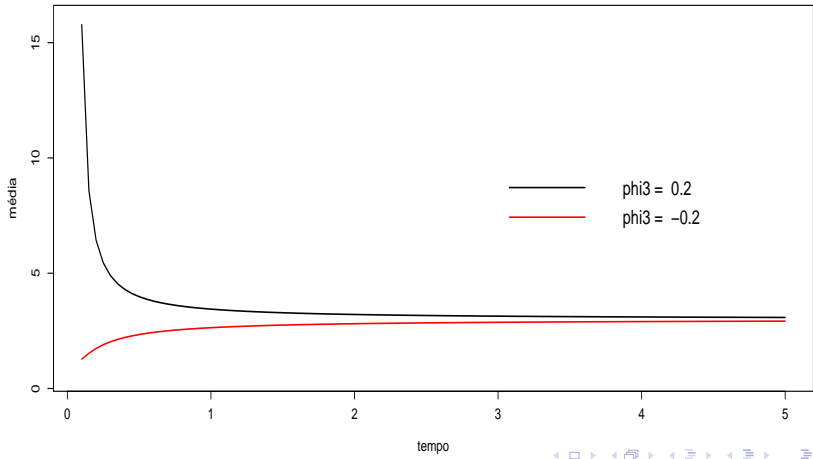
$M_1$

$$\boldsymbol{\beta} = \begin{bmatrix} \beta_1 \\ \beta_2 \\ \beta_3 \end{bmatrix}; \mathbf{X}_j = \begin{bmatrix} 1 & 0 & 0 \\ 0 & 1 & 0 \\ 0 & 0 & w_j^{-1} \end{bmatrix}$$

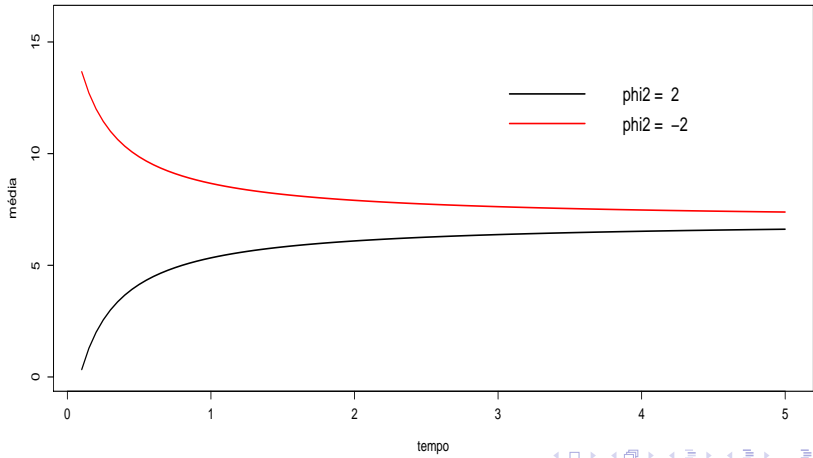
$M_5$

$$\boldsymbol{\beta} = \begin{bmatrix} \beta_1 \\ \beta_2 \\ \beta_3 \\ \beta_4 \end{bmatrix}; \mathbf{X}_j = \begin{bmatrix} 1 & 0 & 0 & 0 \\ 0 & 1 & 0 & 0 \\ 0 & 0 & 1 & 0 \\ 0 & 0 & 0 & w_j \end{bmatrix}$$

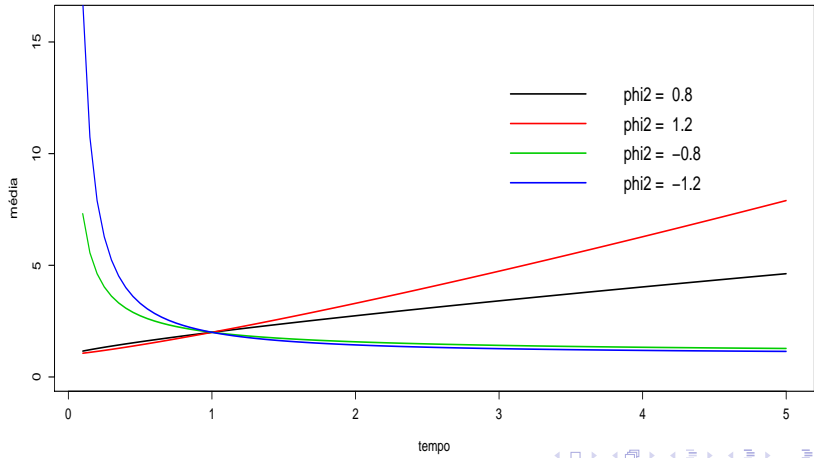
Modelo 1:  $\phi_1 = 1, \phi_2 = 2$



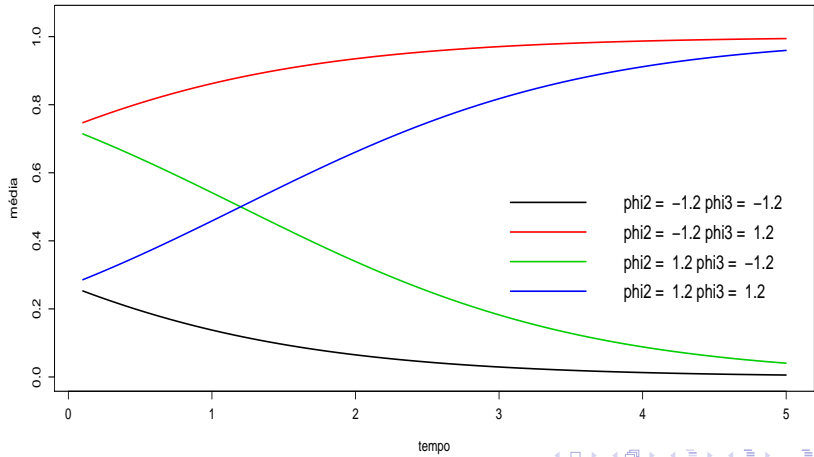
Modelo 2:  $\phi_1 = 7, \phi_3 = 0, 2$



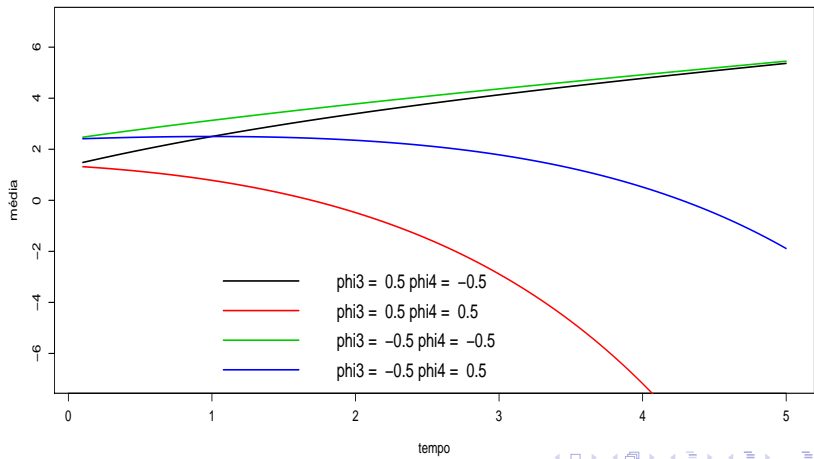
## Modelo 3: $\phi_1 = 1$



## Modelo 4: $\phi_1 = 1$



## Modelo 5: $\phi_1 = 3, \phi_2 = 0, 5$



# Modelo não linear misto

$$Y_{ij} = f(\phi_{ij}, \mathbf{X}_{ij}, \mathbf{W}_{ij}) + \xi_{ij}; j = 1, \dots, n (\text{indivíduo}); i = 1, \dots, k_j (\text{medida repetida})$$

- Em que  $\mathbf{X}_{ij}$  representa covariáveis (matrizes de planejamento) de interesse associadas aos efeitos fixos ( $\mathbf{A}_{ij}$ ) e aleatórios ( $\mathbf{B}_{ij}$ ).
- $\phi_{ij} = \mathbf{A}_{ij}\beta + \mathbf{B}_{ij}\mathbf{b}_j$ .
- $\mathbf{W}_{ij}$  : outras covariáveis como o tempo, por exemplo.
- $f(., ., .)$  é uma função geral, real e diferenciável e não linear em pelo menos uma componente do vetor  $\phi_{ij}$ .
- $\xi_{ij} \stackrel{i.i.d}{\sim} N(0, \sigma^2)$ ,  $\mathbf{b}_j \stackrel{i.i.d}{\sim} N_q(\mathbf{0}, \boldsymbol{\Psi})$ ,  $\xi_{ij} \perp \mathbf{b}_j \forall i, j$ .

## Modelo não linear misto (forma vetorial)

$$\mathbf{Y}_j = \mathbf{f}(\phi_j, \mathbf{X}_j, \mathbf{W}_j) + \boldsymbol{\xi}_j; j = 1, \dots, n$$

$$\mathbf{Y}_j = \begin{bmatrix} Y_{1j} \\ Y_{2j} \\ \vdots \\ Y_{kj_j} \end{bmatrix}; \mathbf{X}_j = \begin{bmatrix} \mathbf{X}_{1j} \\ \mathbf{X}_{2j} \\ \vdots \\ \mathbf{X}_{kj_j} \end{bmatrix}; \mathbf{A}_j = \begin{bmatrix} \mathbf{A}_{1j} \\ \mathbf{A}_{2j} \\ \vdots \\ \mathbf{A}_{kj_j} \end{bmatrix}; \mathbf{B}_j = \begin{bmatrix} \mathbf{B}_{1j} \\ \mathbf{B}_{2j} \\ \vdots \\ \mathbf{B}_{kj_j} \end{bmatrix};$$

$$\phi_j = \begin{bmatrix} \phi_{1j} \\ \phi_{2j} \\ \vdots \\ \phi_{kj_j} \end{bmatrix}; \boldsymbol{\xi}_j = \begin{bmatrix} \xi_{1j} \\ \xi_{2j} \\ \vdots \\ \xi_{kj_j} \end{bmatrix}; \mathbf{f}(\phi_j, \mathbf{X}_j) = \begin{bmatrix} f(\phi_{1j}, \mathbf{X}_{1j}, \mathbf{W}_{1j}) \\ f(\phi_{2j}, \mathbf{X}_{2j}, \mathbf{W}_{2j}) \\ \vdots \\ f(\phi_{kj_j}, \mathbf{X}_{kj_j}, \mathbf{W}_{kj_j}) \end{bmatrix}; \mathbf{W}_j = \begin{bmatrix} \mathbf{W}_{1j} \\ \mathbf{W}_{2j} \\ \vdots \\ \mathbf{W}_{kj_j} \end{bmatrix}$$

## Modelo não lineares mistos: exemplos

- $(M_1) : Y_{ij} = \phi_{1j} + \phi_{2j} \exp(\phi_{3j}/w_{ij}) + \xi_{ij}.$
- $(M_2) : Y_{ij} = \phi_{1j} - \phi_{2j} (w_{ij} + \phi_{3j})^{-1} + \xi_{ij}.$
- $(M_3) : Y_{ij} = \phi_{1j} w_{ij}^{\phi_{2j}} + \xi_{ij}.$
- $(M_4) : Y_{ij} = \phi_{1j} / (1 + \exp(-(w_{ij} - \phi_{2j})/\phi_{3j})) + \xi_{ij}.$
- $(M_5) : Y_{ij} = \phi_{1j} + \phi_{2j} w_{1j} - e^{\phi_{3j} + \phi_{4j} w_{ij}} + \xi_{ij}.$

## Modelo 1 misto

- $Y_{ij} = \phi_{1j} + \phi_{2j} \exp(\phi_{3j}/w_{ij}) + \xi_{ij}$ .

$\phi_{1j} = \beta_1 + b_{1j}$ ,  $\phi_{2j} = \beta_2$  e  $\phi_{3j} = \beta_3$ , nesse caso,  $\beta = (\beta_1, \beta_2, \beta_3)'$ ,

$\mathbf{b}_j = b_{1j} \stackrel{i.i.d.}{\sim} N(0, \psi)$  e

$$\phi_j = \begin{bmatrix} \beta_1 \\ \beta_2 \\ \beta_3 \end{bmatrix} + \begin{bmatrix} b_{1j} \\ 0 \\ 0 \end{bmatrix}$$

$$\mathbf{A}_{ij} = \mathbf{I}_3, \mathbf{B}_{ij} = \begin{bmatrix} 1 \\ 0 \\ 0 \end{bmatrix}$$

## Modelo 1 misto

- $Y_{ij} = \phi_{1j} + \phi_{2j} \exp(\phi_{3j}/w_{ij}) + \xi_{ij}$ .

$\phi_{1j} = \beta_1 + b_{1j}$ ,  $\phi_{2j} = \beta_2 + b_{2j}$  e  $\phi_{3j} = \beta_3$ , nesse caso,

$\boldsymbol{\beta} = (\beta_1, \beta_2, \beta_3)'$ ,  $\mathbf{b}_j = (b_{1j}, b_{2j})'$   $\stackrel{i.i.d.}{\sim} N_2(\mathbf{0}, \boldsymbol{\Psi})$  e

$$\phi_j = \begin{bmatrix} \beta_1 \\ \beta_2 \\ \beta_3 \end{bmatrix} + \begin{bmatrix} b_{1j} \\ b_{2j} \\ 0 \end{bmatrix}$$

$$\mathbf{A}_{ij} = \mathbf{I}_3, \mathbf{B}_{ij} = \begin{bmatrix} 1 & 0 \\ 0 & 1 \\ 0 & 0 \end{bmatrix}$$

## Modelo 1 misto

- $Y_{ij} = \phi_{1j} + \phi_{2j} \exp(\phi_{3j}/w_{ij}) + \xi_{ij}$ .

$\phi_{1j} = \beta_1 + b_{1j}$ ,  $\phi_{2j} = \beta_2 + b_{2j}$  e  $\phi_{3j} = \beta_3 + b_{3j}$ , nesse caso,

$\boldsymbol{\beta} = (\beta_1, \beta_2, \beta_3)'$ ,  $\mathbf{b}_j = (b_{1j}, b_{2j}, b_{3j})'$   $\stackrel{i.i.d.}{\sim} N_3(\mathbf{0}, \boldsymbol{\Psi})$  e

$$\phi_j = \begin{bmatrix} \beta_1 \\ \beta_2 \\ \beta_3 \end{bmatrix} + \begin{bmatrix} b_{1j} \\ b_{2j} \\ b_{3j} \end{bmatrix}$$

$$\mathbf{A}_{ij} = \mathbf{I}_3, \mathbf{B}_{ij} = \mathbf{I}_3$$

Em todos os casos, a matriz  $\mathbf{W}_{ij}$  corresponde à variável  $w_{ij}$ , que pode ser o tempo.

## Modelo 3 misto

- $Y_{ij} = \phi_{1j} w_{ij}^{\phi_{2j}} + \xi_{ij}$ .

$\phi_{1j} = \beta_1 + b_{1j}$  e  $\phi_{2j} = \beta_2$ , nesse caso,  $\beta = (\beta_1, \beta_2)'$ ,

$b_j = b_{1j} \stackrel{i.i.d}{\sim} N(0, \psi)$  e

$$\phi_j = \begin{bmatrix} \beta_1 \\ \beta_2 \end{bmatrix} + \begin{bmatrix} b_{1j} \\ 0 \end{bmatrix}$$

$$\mathbf{A}_{ij} = \mathbf{I}_2, \mathbf{B}_{ij} = \begin{bmatrix} 1 \\ 0 \end{bmatrix}$$

## Modelo 3 misto

- $Y_{ij} = \phi_{1j} w_{ij}^{\phi_{2j}} + \xi_{ij}$ .  
 $\phi_{1j} = \beta_1 + b_{1j}$  e  $\phi_{2j} = \beta_2 + b_{2j}$ , nesse caso,  $\beta = (\beta_1, \beta_2)'$ ,  
 $\mathbf{b}_j = (b_{1j}, b_{2j}) \stackrel{i.i.d}{\sim} N_2(\mathbf{0}, \boldsymbol{\Psi})$  e

$$\phi_j = \begin{bmatrix} \beta_1 \\ \beta_2 \end{bmatrix} + \begin{bmatrix} b_{1j} \\ b_{2j} \end{bmatrix}$$

$$\mathbf{A}_{ij} = \mathbf{I}_2, \mathbf{B}_{ij} = \mathbf{I}_2$$

# Estimação

- Parâmetros para estimar  $(\beta, \mathbf{b}, \theta, \sigma^2)$ , em que  $\Psi = \Psi(\theta)$ .
- Verossimilhança completa:

$$\begin{aligned} L(\beta, \mathbf{b}, \theta, \sigma^2) &= \exp \left\{ - \sum_{j=1}^n \sum_{i=1}^{k_j} \frac{(y_{ij} - f(\phi_{ij}, \mathbf{X}_{ij}, \mathbf{W}_{ij}))^2}{2\sigma^2} \right\} \\ &\times \exp \left\{ -0,5 \sum_{j=1}^n \mathbf{b}'_j \Psi^{-1} \mathbf{b}_j \right\} |\Psi|^{-n/2} \end{aligned}$$

# Verossimilhança marginal

$$\begin{aligned} L(\boldsymbol{\beta}, \boldsymbol{\theta}, \sigma^2) &\propto \prod_{j=1}^n \int_{\Re^q} \exp \left\{ - \sum_{i=1}^{k_j} \frac{(y_{ij} - f(\phi_{ij}, \mathbf{X}_{ij}, \mathbf{W}_{ij}))^2}{2\sigma^2} \right\} \\ &\times \exp \{-0,5 \mathbf{b}_j' \boldsymbol{\Psi}^{-1} \mathbf{b}_j\} |\boldsymbol{\Psi}|^{-1/2} d\mathbf{b} \end{aligned}$$

A integral acima não tem solução explícita (lembrando que  $\phi_{ij}$  é função de  $\mathbf{b}_j$ ).

# Resolução da integral

- Quadratura (gaussiana).
- Quadratura adaptativa.
- Aproximação da verossimilhança por um modelo linear misto.
- Aproximação de Laplace.
- Aproximação do integrando usando o primeiro termo da expansão em séries de Taylor em torno do valor esperado condicional dos efeitos aleatórios.
- Aproximação do integrando usando o primeiro termo da expansão em séries de Taylor em torno da moda condicional dos efeitos aleatórios.
- Monte carlo.

# Discutiremos brevemente

- Quadratura adaptativa.
- Aproximação da verossimilhança por um modelo linear misto (método de Lindstrom and Bates).
- Aproximação de Laplace.

# Verossimilhança

- Vamos utilizar a seguinte decomposição da matriz  $\Psi^{-1} = \sigma^{-2} \Delta' \Delta$ , em que  $\Delta$  (associado à decomposição de Cholesky) é uma matriz de precisão ( $N = \sum_{j=1}^n k_j$ ). Assim:

$$\begin{aligned} L(\beta, \theta, \sigma^2) &\propto (\sigma^2)^{-(N+nq)/2} \\ &\times \prod_{j=1}^n \int_{\Re^q} \exp \left\{ -\sum_{i=1}^{k_j} \frac{(y_{ij} - f(\phi_{ij}, \mathbf{x}_{ij}, \mathbf{W}_{ij}))^2 + \|\Delta \mathbf{b}_j\|^2}{2\sigma^2} \right\} \\ &\times |\Delta| d\mathbf{b}_j \end{aligned} \tag{1}$$

em que  $\|.\|^2$  é a norma Euclidiana elevada ao quadrado.

# Método de Lindstrom and Bates

- Tal método consiste em iterar entre dois passos: um passo de mínimos quadrados não lineares penalizado (MQNLP) e um passo de modelos lineares mistos (MLM).
- No passo MQNLP, consideramos uma estimativa provisória de  $\Delta$  e obtemos estimativas provisórias de  $\mathbf{b}_j$  e  $\beta$  minimizando

$$\sum_{j=1}^n \left[ \sum_{i=1}^{k_j} (y_{ij} - f(\phi_{ij}, \mathbf{X}_{ij}, \mathbf{W}_{ij}))^2 + \|\Delta \mathbf{b}_j\|^2 \right]$$

## Cont.

- No passo MLM a matriz  $\Delta$  é atualizada baseada na expansão de primeira ordem em séries de Taylor da função  $f(., ., .)$  em torno de estimativas provisórias de  $\beta$  e  $\mathbf{b}_j$ , as quais serão denotadas por  $\tilde{\beta}^{(w)}$  e  $\tilde{\mathbf{b}}_j^{(w)}$ . Defina ainda

$$\tilde{\mathbf{w}}_j^{(w)} = \mathbf{y}_j - \mathbf{f}_j(\tilde{\beta}^{(w)}, \tilde{\mathbf{b}}_j^{(w)}) + \tilde{\mathbf{X}}_j^{(w)}\tilde{\beta}^{(w)} + \tilde{\mathbf{Z}}_j^{(w)}\tilde{\beta}_j^{(w)}$$

em que  $\tilde{\mathbf{X}}_j^{(w)} = \frac{\partial \mathbf{f}_j}{\partial \beta'} \Big|_{\tilde{\beta}^{(w)}, \tilde{\mathbf{b}}_j^{(w)}}$  e  $\tilde{\mathbf{Z}}_j^{(w)} = \frac{\partial \mathbf{f}_j}{\partial \mathbf{b}'_j} \Big|_{\tilde{\beta}^{(w)}, \tilde{\mathbf{b}}_j^{(w)}}$

Cont.

- Assim a log-verossimilhança aproximada (para estimar  $\Delta$ ) é dada por:

$$\begin{aligned} I_{MLM}(\beta, \Delta, \sigma^2) &= -\frac{N}{2} \ln(2\pi\sigma^2) - \frac{1}{2} \sum_{j=1}^n \left\{ \ln |\Sigma_j(\Delta)| \right. \\ &\quad + \sigma^{-2} \left[ \mathbf{w}_j^{(w)} - \tilde{\mathbf{X}}_j^{(w)} \beta \right]' \Sigma_j^{-1}(\Delta) \\ &\quad \times \left. \left[ \mathbf{w}_j^{(w)} - \tilde{\mathbf{X}}_j^{(w)} \beta \right] \right\} \end{aligned} \quad (2)$$

em que  $\Sigma_j(\Delta) = \mathbf{I} + \tilde{\mathbf{Z}}_j^{(w)} \Delta^{-1} (\Delta^{-1})' \tilde{\mathbf{Z}}_j^{(w)'} \mathbf{I}$

# Cont.

- De modo semelhante ao que é feito nos MLM, podemos obter os valores que maximizam a função acima, em relação à  $\beta$  e  $\sigma^2$ , explicitamente em função de  $\Delta$  e trabalhar com a verossimilhança perfilada de  $\Delta$  para estimá-la.

## Cont.

- Pode-se também trabalhar com a logverossimilhança restrita (veja slides sobre MLM), ou seja:

$$I_R(\sigma^2, \boldsymbol{\Delta}) = I(\tilde{\beta}(\boldsymbol{\Delta}), \boldsymbol{\Delta}, \sigma^2) - \frac{1}{2} \sum_{j=1}^n \ln |\sigma^{-2} \tilde{\mathbf{X}}_j^{(w)'} \boldsymbol{\Sigma}_j(\boldsymbol{\Delta}) \tilde{\mathbf{X}}_j^{(w)}|$$

em que  $I(\tilde{\beta}(\boldsymbol{\Delta}), \boldsymbol{\Delta}, \sigma^2)$  é dada por (2), com  $\beta$  substituído por  $\tilde{\beta}$ .

- O algoritmo alterna entre os passos MQNLP e MLM, até que algum critério de convergência seja alcançado.

# Aproximação de Laplace

- A integral que queremos aproximar é a constante na expressão abaixo:

$$\begin{aligned} L(\beta, \theta, \sigma^2) &\propto \prod_{j=1}^n \int_{\Re^q} \exp \left\{ - \sum_{i=1}^{k_j} \frac{(y_{ij} - f(\phi_{ij}, \mathbf{X}_{ij}, \mathbf{W}_{ij}))^2 + ||\Delta \mathbf{b}_j||^2}{2\sigma^2} \right\} \\ &\times (2\pi\sigma^2)^{-(k_j+1)/2} |\Delta| d\mathbf{b} \end{aligned}$$

- Seja  $g(\beta, \Delta, \mathbf{y}_j, \mathbf{b}_j) = \sum_{i=1}^{k_j} (y_{ij} - f(\phi_{ij}, \mathbf{X}_{ij}, \mathbf{W}_{ij}))^2 + ||\Delta \mathbf{b}_j||^2$ .

# Aproximação de Laplace

- Defina:

$$\begin{aligned}\tilde{\mathbf{b}}_j &= \operatorname{argmin}_{\mathbf{b}_j} g(\boldsymbol{\beta}, \boldsymbol{\Delta}, \mathbf{y}_j, \mathbf{b}_j) \\ g'(\boldsymbol{\beta}, \boldsymbol{\Delta}, \mathbf{y}_j, \mathbf{b}_j) &= \frac{\partial g(\boldsymbol{\beta}, \boldsymbol{\Delta}, \mathbf{y}_j, \mathbf{b}_j)}{\partial \mathbf{b}_j} \\ g''(\boldsymbol{\beta}, \boldsymbol{\Delta}, \mathbf{y}_j, \mathbf{b}_j) &= \frac{\partial^2 g(\boldsymbol{\beta}, \boldsymbol{\Delta}, \mathbf{y}_j, \mathbf{b}_j)}{\partial \mathbf{b}_j \partial \mathbf{b}'_j}\end{aligned}$$

- Considere a expansão em séries de Taylor de segunda ordem de  $g$  em torno de  $\tilde{\mathbf{b}}_j$ :

$$g(\boldsymbol{\beta}, \boldsymbol{\Delta}, \mathbf{y}_j, \mathbf{b}_j) \approx g(\boldsymbol{\beta}, \boldsymbol{\Delta}, \mathbf{y}_j, \tilde{\mathbf{b}}_j) + \frac{1}{2} (\mathbf{b}_j - \tilde{\mathbf{b}}_j)' g''(\boldsymbol{\beta}, \boldsymbol{\Delta}, \mathbf{y}_j, \tilde{\mathbf{b}}_j) (\mathbf{b}_j - \tilde{\mathbf{b}}_j)$$

$$(\text{note que } g'(\boldsymbol{\beta}, \boldsymbol{\Delta}, \mathbf{y}_j, \tilde{\mathbf{b}}_j) = \mathbf{0})$$

## Cont.

- A aproximação de Laplace da verossimilhança é dada por:

$$L(\beta, \theta, \sigma^2) \approx (2\pi\sigma^2)^{-N/2} |\Delta|^n \\ \times \exp \left[ -\frac{1}{2\sigma^2} \sum_{j=1}^n g(\beta, \Delta, \mathbf{y}_j, \tilde{\mathbf{b}}_j) \right] \prod_{i=1}^n |g''(\beta, \Delta, \mathbf{y}_j, \tilde{\mathbf{b}}_j)|^{-1/2}$$

- Temos que (veja Pinheiro and Bates (2009), pag. 316-317)

$$g''(\beta, \Delta, \mathbf{y}_j, \tilde{\mathbf{b}}_j) \approx \mathbf{G}(\beta, \Delta, \mathbf{y}_j) = \frac{\partial \mathbf{f}_j(\beta, \mathbf{b}_j)}{\partial \mathbf{b}_j} \Bigg|_{\tilde{\mathbf{b}}_j} \frac{\partial \mathbf{f}_j(\beta, \mathbf{b}_j)}{\partial \mathbf{b}'_j} \Bigg|_{\tilde{\mathbf{b}}_j} + \Delta' \Delta$$

- A aproximação de Laplace da logverossimilhança modificada é dada por:

$$I_{LA}(\beta, \sigma^2, \Delta) = -\frac{N}{2} + n \ln |\Delta| - \frac{1}{2} \left\{ \sum_{j=1}^n \ln |G(\beta, \Delta, \mathbf{y}_j)| + \sigma^{-2} \sum_{j=1}^n g(\beta, \Delta, \mathbf{y}_j, \tilde{\mathbf{b}}_j) \right\}$$

- O procedimento itera entre a maximização de  $I_{LA}$  em relação à  $\beta, \sigma^2, \Delta$  e da minimização de  $g(\beta, \Delta, \mathbf{y}_j)$  com relação à  $\mathbf{b}_j$ .

# Quadratura adaptativa

- A idéia é utilizar parte dos resultados da AL e substituir a integral de uma normal multivariada por sucessivas integrais de normais padrão independentes.
- Sejam  $z_j, w_j, j = 1, 2, \dots, N_Q$ , respectivamente, as abscissas e os pesos para a integração por quadratura Gaussiana (unidimensional) baseado na  $N(0,1)$ .
- Do resultado da AL temos que o integrando  $\exp(-g(\beta, \Delta, \mathbf{y}_j, \mathbf{b}_j)/(2\sigma^2))$  pode ser aproximado por uma distribuição  $N_q(\tilde{\mathbf{b}}_j, \sigma^2 G^{-1}(\beta, \Delta, \mathbf{y}_j))$

# Quadratura adaptativa

■ Assim

$$\begin{aligned} & \int \exp(-g(\beta, \Delta, \mathbf{y}_j, \mathbf{b}_j)/(2\sigma^2)) d\mathbf{b}_j = \int \sigma^q |\mathbf{G}(\beta, \Delta, \mathbf{y}_j)|^{-1/2} \\ & \times \exp \left\{ -g \left[ \beta, \Delta, \mathbf{y}_j, \tilde{\mathbf{b}}_j + \sigma \mathbf{G}^{-1/2}(\beta, \Delta, \mathbf{y}_j) \mathbf{z} \right] / (2\sigma^2) + \|\mathbf{z}\|^2/2 \right\} \\ & \times \exp(-\|\mathbf{z}\|^2/2) d\mathbf{z} \\ & \approx \sigma^q |\mathbf{G}(\beta, \Delta, \mathbf{y}_j)|^{-1/2} \\ & \times \sum_{j_1=1}^{N_Q} \dots \sum_{j_q=1}^{N_Q} \exp \left\{ -g \left[ \beta, \Delta, \mathbf{y}_j, \tilde{\mathbf{b}}_j + \sigma \mathbf{G}^{-1/2}(\beta, \Delta, \mathbf{y}_j) \mathbf{z}_j \right] / (2\sigma^2) \right. \\ & \left. + \|\mathbf{z}_j\|^2/2 \right\} \prod_{k=1}^q w_{jk} \end{aligned}$$

em que  $\mathbf{z}_i = (z_{i1}, \dots, z_{iq})$ .

## Cont.

- A aproximação da logverossimilhança por quadratura adaptativa:

$$\begin{aligned} I_{AQI}(\beta, \sigma^2, \Delta) &= -\frac{N}{2} \ln(2\pi\sigma^2) + n \ln |\Delta| - \frac{1}{2} \sum_{j=1}^n \ln |\mathbf{G}(\beta, \Delta, \mathbf{y}_j)| \\ &= \sum_{j=1}^n \left( \sum_{j_1=1}^{N_Q} \dots \sum_{j_q=1}^{N_Q} \exp \left\{ -g \left[ \beta, \Delta, \mathbf{y}_j, \tilde{\mathbf{b}}_j \right. \right. \right. \\ &\quad \left. \left. \left. + \sigma \mathbf{G}^{-1/2}(\beta, \Delta, \mathbf{y}_j) \mathbf{z}_j \right] / (2\sigma^2) \right. \right. \\ &\quad \left. \left. + ||\mathbf{z}_j||^2 / 2 \right\} \prod_{k=1}^q w_{jk} \right) \end{aligned}$$

- A logverossimilhança acima pode ser maximizada através de algoritmos de otimização adequados.

# Recursos computacionais

- As funções “`nls`” (default no R) e “`nlme`” (pacote `nlme`) ajustam, respectivamente, modelos não lineares e modelos não lineares mistos.
- A primeira estima os parâmetros via mínimos quadrados (ponderados) não lineares.
- A segunda o faz usando máxima verossimilhança ou máxima verossimilhança restrita.
- Um ponto interessante é que ambas solicitam que o usuário forneçam estimativas iniciais para os parâmetros do preditor não linear.

## Cont.

- Há uma certa flexibilidade na escolha do preditor não linear.
- Ele pode ser escrito diretamente na função ou ser inserido como uma função.
- Em geral é melhor entrar com o preditor não linear como uma função na qual conste a respectiva derivada (auxilia na convergência dos algoritmos).
- Há a possibilidade de criar uma outra função através da função “selfStart” na qual é possível inserir o cálculo automático das estimativas iniciais.

## Cont.

- Há vários preditores não lineares implementados com esse pacote (derivada e estimativa iniciais) já estão disponíveis na função (*input* : covariável, *dose* : valor inicial de interesse).

Nome	Modelo
SSasymp	$Asym + (R0 - Asym) * exp(-exp(lrc) * input)$
SSasympOff	$Asym * (1 - exp(-exp(lrc) * (input - c0)))$
SSasympOrig	$Asym * (1 - exp(-exp(lrc) * input))$
SSbiexp	$A1 * exp(-exp(lrc1) * input) + A2 * exp(-exp(lrc2) * input)$
SSfol	$Dose * exp(IKe + IKa - ICI) * (exp(-exp(IKe) * input) - exp(-exp(IKa) * input))(exp(IKa) - exp(IKe))$

Cont.

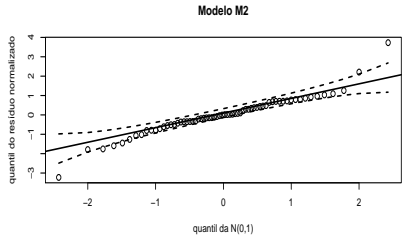
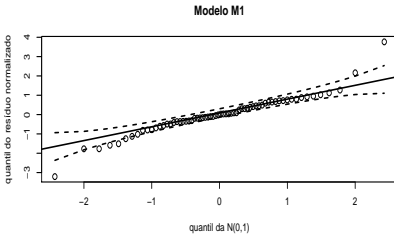
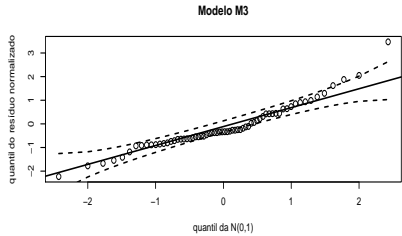
- ( $x$  : covariável)

Nome	Modelo
SSfpl	$A + (B - A)/(1 + \exp((xmid - input)/scal))$
SSgompertz	$Asym * \exp(-b2 * b3^x)$
SSlogis	$Asym/(1 + \exp((xmid - input)/scal))$
SSmicmen	$Vm * input/(K + input)$
SSweibull	$Asym - Drop * \exp(-\exp(lrc) * x^{pwr})$

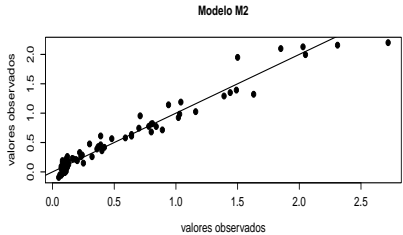
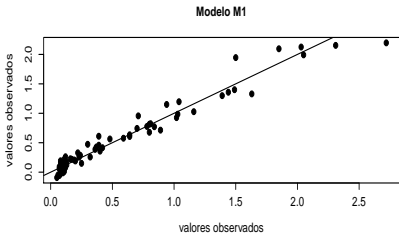
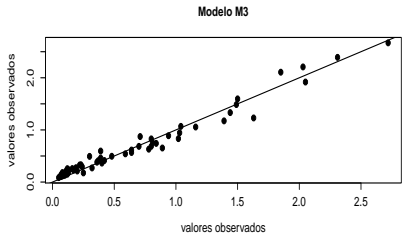
## Voltando ao Exemplo 6

- Ajustou-se os modelos  $M_1$ ,  $M_2$  e  $M_3$  (não houve convergência para os modelo  $M_4$  e  $M_5$ )
- $(M_1) : Y_{ij} = \phi_1 j + \phi_2 \exp(\phi_3 / w_{ij}) + \xi_{ij}$ .
- $(M_2) : Y_{ij} = \phi_1 j - \phi_2 (w_{ij} + \phi_3)^{-1} + \xi_{ij}$ .
- $(M_3) : Y_{ij} = \phi_1 j w_j^{\phi_2} + \xi_{ij}$ .
- $\phi_1 j = \phi_1 + b_j$ ,  $b_j \stackrel{i.i.d.}{\sim} N(0, \psi)$ .
- $\xi_{ij} \stackrel{i.i.d.}{\sim} N(0, \sigma^2)$ ,  $\xi_{ij} \perp b_j$ .

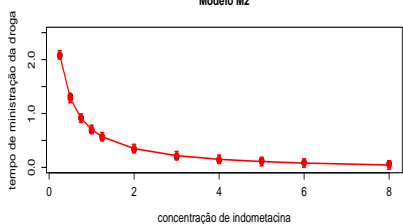
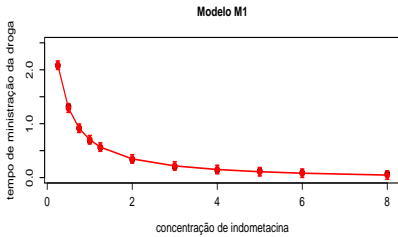
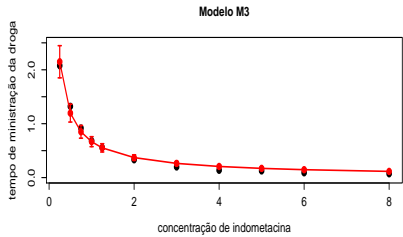
# Resíduos normalizados com envelopes baseados na $N(0,1)$



# Valores individuais observados e preditos



# Médias observadas e preditas (via valores preditos indiv.)



# Estatísticas de comparação de modelos e somas de quadrados de resíduos

	AIC	BIC
$M_3$	-72,95	-64,20
$M_2$	-51,12	-41,18
$M_1$	-51,80	-40,85

$M_3$	$M_2$	$M_1$
0,915	0,924	0,924

# Resíduos normalizados com envelopes baseados no modelo

Gráfico de quantil-quantil (modelo M3)

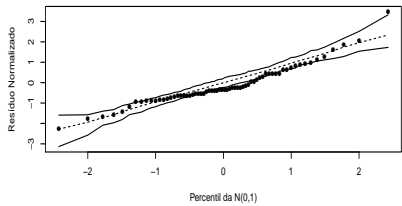


Gráfico de quantil-quantil (modelo M1)

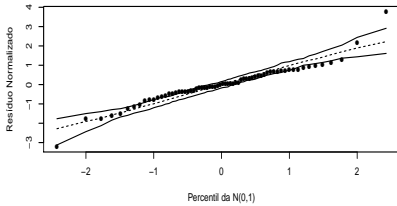


Gráfico de quantil-quantil (modelo M2)

